

نهشته لاتریتی سپارده: ویژگی‌های بافتی، کانی‌شناسی و زمین‌شیمی عناصر نادر خاکی

مریم کیا اشکوریان^{۱*}، علی اصغر کلاگری^۱، علی عابدینی^۲، غلامحسین شمعانیان^۳

۱- گروه زمین‌شناسی اقتصادی، دانشکده علوم طبیعی، دانشگاه تبریز، تبریز، ایران

۲- گروه زمین‌شناسی، دانشکده علوم، دانشگاه ارومیه، ارومیه، ایران

۳- گروه زمین‌شناسی، دانشکده علوم پایه، دانشگاه گلستان، گرگان، ایران

پذیرش مقاله: ۱۳۹۸/۳/۲۵

تأیید نهایی مقاله: ۱۳۹۸/۱۲/۱۵

چکیده

نهشته لاتریتی سپارده در منطقه اشکورات در استان مازندران و در مرز بین سازندهای الیکا و شمشک محصور شده است. مطالعات ساختی و بافتی نشان‌دهنده خاستگاه بر جازا و نابر جازا برای این نهشته است. بررسی‌های کانی‌شناسی آشکار می‌کنند که کانی‌های سیدریت، شاموزیت، کائولینیت، بوهمیت، دیاسپور، هماتیت، گوتیت، کلینوکلر و آناتاز فازهای کانیایی اصلی این کانسنگ‌ها هستند که توسط فازهای فرعی روتیل، موسکویت و لپیدوکروسیت همراه می‌شوند. این مجموعه کانیایی پیشنهاد‌کننده آن است که آب‌های زیرزمینی با ماهیت بازی-احیایی و آب‌های سطحی با ماهیت اسیدی-اکسیدان نقش مهمی در تشکیل این نهشته ایفا نموده‌اند. با توجه به رفتار زمین‌شیمیایی عناصر اصلی به نظر می‌رسد که کانسنگ‌های لاتریتی طی فرآیندهای لاتریتی‌شدن متوسط تا شدید تشکیل شده‌اند. براساس آنالیزهای شیمیایی، مقادیر REE‌ها در کانسنگ‌ها در بازه‌ای از ۵۸/۹۱ - ۸۴۶/۷۲ ppm متغیر است. مقادیر Ce/Ce*, Eu/Eu*, La/Y و ۰/۹۲ - ۰/۷۶، ۳/۷۶ و ۰/۲۴ - ۰/۴۱ می‌باشند. بررسی‌های زمین‌شیمیایی نشان داد که تغییر در شرایط فیزیکوشیمیایی محیط تشکیل (pH و Eh)، عملکرد سنگ بستر کربناتی به عنوان یک سد زمین‌شیمیایی، کمپلکس‌شدن با لیگندهای کربناتی، اختلاف در میزان پایداری کانی‌های حامل عناصر نادر خاکی و ثبت در فازهای نئومورف نقش مهمی در توزیع و تحرک عناصر نادر خاکی در طی تشکیل و تکامل افق لاتریتی در سپارده ایفا نموده‌اند. علاوه بر این، ناهنجاری‌های Eu به همراه نسبت‌های TiO_2/Al_2O_3 و Sm/Nd مبین سنگ‌های آندزیتی و بازالتی تریاس فوکانی به عنوان منشاء احتمالی برای نهشته سپارده می‌باشند.

واژه‌های کلیدی: عناصر نادر خاکی، کانی‌شناسی، لاتریت، سپارده، اشکورات.

ایران، ایران مرکزی، زاگرس و البرز گستردۀ‌اند
(Salamab Ellahi et al, 2016)

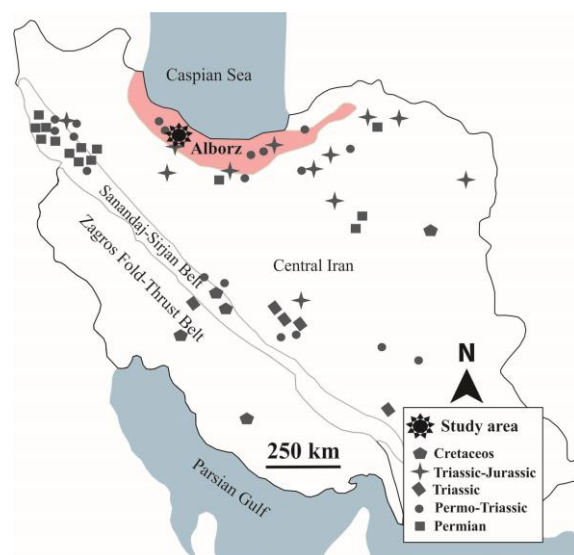
مقدمه

لاتریت به محصولات حاصل از هوازدگی شیمیایی با مقدار بالغ بر ۲۰ درصد آهن کل (معمولًا آهن فربک) گفته می‌شود (Retallack, 2010). تشکیل لاتریت‌ها و میزان لاتریتی‌شدن با توجه به اهمیت سنگ منشاء تحت فرآیندهای پیچیده‌ی زمین‌شیمیایی، بیولوژیکی، آب و هوایی و در مدت زمان کافی صورت می‌گیرد (Hill et al, 2000). به علاوه لاتریت‌ها از نظر اقتصادی می‌توانند به عنوان منابعی برای Al, Fe, Ni, Au و همچنین عناصر نادر خاکی (Giorgis et al, 2014) در نظر گرفته شوند.

از این روی در چند دهه اخیر مطالعات زیادی بر روی ویژگی‌های کانی‌شناسی و به خصوص زمین‌شیمیایی عناصر نادر خاکی بر روی این نهشته‌ها صورت گرفته است (Meshram and Randive, 2011; Abedini et al, 2014; Calagari et al, 2015; Aiglsperger et al, 2016). نهشته‌های لاتریتی در ایران غالباً همراه و در طی وقایع مشترک با نهشته‌های بوکسیتی تشکیل شده‌اند. این نهشته‌ها در شمال غرب

منطقه مورد مطالعه

رشته‌کوه البرز در شمال ایران میزبان نهشته‌های لاتریت و بوکسیت فراوانی است. نهشته لاتریت سپارده یکی از نهشته‌های واقع در بخش غربی البرز است که با مختصات جغرافیایی $36^{\circ} 39'$ طول شرقی و $50^{\circ} 23'$ عرض شمالی در فاصله حدود ۱۱۴ کیلومتری شهرستان رامسر در استان مازندران واقع شده است. این نهشته در بین سنگ‌های آهک تریاس (سازند الیکا) و ماسه‌سنگ‌های ژوراسیک (سازند شمشک) قرار گرفته است. بررسی‌های زمین‌شناسی ناحیه‌ای این منطقه در قالب تهیه نقشه زمین‌شناسی ۱:۱۰۰۰۰۰ چهارگوش جواهرده انجام شده است (بهارفیروزی، ۱۳۸۰). از جمله بررسی‌های قبلی صورت گرفته بر روی نهشته سپارده می‌توان به شناساسی بوکسیت-لاتریت و مواد نسوز استان گیلان توسط سازمان زمین‌شناسی و اکتشافات معدنی کشور اشاره کرد (عبدیان، ۱۳۸۷).



شکل ۱: موقعیت زمانی و مکانی نهشته‌های بوکسیتی-لاتریتی در نواحی مختلف ایران
(Salamab Ellahi et al, 2016)

نمونه توسط دستگاه میکروسکوپ الکترونی روبشی (SEM-EDX) مدل UP LEO1450 قابلیت مشخص‌سازی توزیع عناصر در یک امتداد مشخص و توزیع عناصر در یک محدوده در همین شرکت انجام پذیرفت. برای انجام مطالعات زمین‌شیمیایی تعداد ۱۰ عدد نمونه به روش ICP-OES با کد آنالیز WAR-310 و به روش ICP-MS با کد آنالیز IMS-300 به ترتیب برای تعیین مقادیر عناصر اصلی و جزئی و نادر خاکی در شرکت MS Analytical در کشور کانادا تجزیه شدند. حد آشکارسازی برای عناصر La, Ce, Nd, Sm, Pr, Er, Eu, Yb, Tb, Ho, Lu و Y, Tm می‌باشد. مقدار LOI از طریق حرارت دادن نمونه‌ها در ۱۰۰۰°C اندازه‌گیری شده است. در این پژوهش به منظور تفسیرهای زمین‌شیمیایی ضرایب همبستگی پیرسون بین عناصر با استفاده از نرم‌افزار SPSS نسخه ۲۱ محاسبه شدند.

زمین‌شناسی منطقه مورد مطالعه

نهشته سپارده در زون البرز در شمال ایران واقع شده است. از ویژگی‌های مهم زمین‌شناسی البرز در این بخش می‌توان به نبود رخنمون‌های سنگی پرکامبرین و پالئوزوییک زیرین اشاره کرد (شکل ۲). هیچ‌گونه از رخنمون‌های سنگی متعلق به اردویسین، سیلورین و دونین در این محدوده دیده نشده است. تشکیلات متعلق به پالئوزوییک شامل سازند مبارک (کربونیفر) است که سازند دورود (پرمین زیرین) به صورت ناپیوستگی فرسایشی هم‌شیب همراه با میان‌لایه‌هایی از سنگ‌های آتشفشاری و بازالتی بر روی آن قرار گرفته است. در این منطقه تشکیلات مزو佐وییک پس از یک وقفه رسوبی بر روی رسوبات پرمین قرار می‌گیرند که به ترتیب شامل سنگ‌های آهکی و دولومیتی الیکا (تریاس میانی-پایانی)، رسوبات شمشک

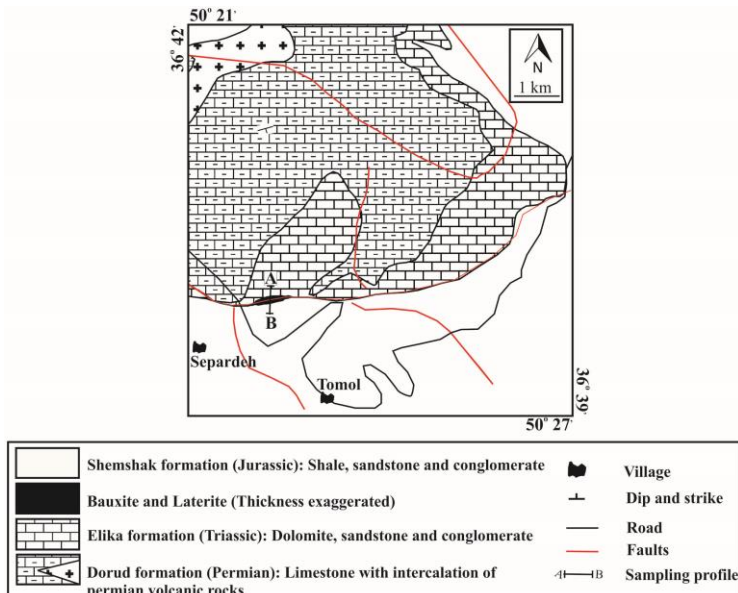
با وجود بررسی‌های جامع بر تعداد زیادی از ذخایر هوازده بازماندی در البرز توسط پژوهشگران مختلف (شماعنیان و همکاران، ۱۳۹۴ و ۱۳۹۵؛ کنگرانی فرهانی و همکاران، ۱۳۹۳) تاکنون بررسی جامعی بر روی کانسنگ‌های نهشته سپارده صورت نگرفته است. از این رو این مقاله سعی دارد با در نظر گرفتن ویژگی‌های پتروگرافی، کانی‌شناسی و زمین‌شیمیایی به بررسی شرایط فیزیکوشیمیایی تشکیل، عوامل توسعه تیپ‌های کانسنگی و عوامل موثر بر توزیع، تحرک و تفرقی عناصر نادر خاکی، رخدادهای ناهنجاری‌های Ce و Eu و تعیین منشاء احتمالی این نهشته بپردازد (شکل ۱).

مواد و روش‌ها

این بررسی در دو مرحله صحرایی و آزمایشگاهی انجام گرفت. در بخش صحرایی، بیماشگاهی برای شناخت واحدهای سنگ‌شناختی منطقه، هندسه ماده معدنی و ارتباط آن با سنگ‌های درون‌گیر و مشخصات ماکروسکوپی کانسنگ‌های لاتریتی انجام شد. با توجه به نتایج به دست آمده از مشاهدات صحرایی تعداد ۱۴ نمونه کانسنگی به‌طور سیستماتیک با توجه به تغییرات در رنگ، بافت و ساختی نمونه‌ها و عمود بر نیمرخ از سنگ‌های لاتریتی برداشت شد. سپس از کلیه نمونه‌ها مقطع نازک تهیه شد و مطالعات بافتی و میکروسکوپی بر روی آنها صورت گرفت. در ادامه، به منظور مطالعات کانی‌شناسی و شناسایی فازهای کانیابی، هر ۱۴ عدد نمونه مورد تجزیه پراش پرتو ایکس (XRD) با دستگاه فیلیپس Co K α Xpert Pro در شرایط ۱۰۰۰ Å و منوکروماتور در مرکز تحقیقات فراوری مواد معدنی ایران در کرج قرار گرفت. مطالعات بافتی و کانی‌شناسی تکمیلی بر روی ۱۱

تظاهر لایه‌های بوکسیت و لاتریت مشخص می‌شود. پایین آمدن سطح آبها و شرایط خشکی‌زایی و فرسایش به همراه آرامش نسبی تکتونیکی و نرخ بالاً‌امدگی متوسط سبب فرسایش و وقایع بوکسیت‌زایی و لاتریت‌زایی در این بخش از البرز گردیده است. پس از آن فازهای فشارشی در سیمیرین پیشین سبب بالاً‌امدگی منطقه‌ای، چین‌خوردگی، گسل‌خوردگی، متامورفیسم و فرسایش شده و نهایتاً تشکیل رسوبات حوضه رسوبی پیشین شمشک را نموده است (Berberian, 1983; Alavi, 1996).

(ژوراسیک آغازین) و سنگ‌های آتشفسانی کرتاسه می‌باشند. مرز بالایی سازند الیکا با بازالت‌های آندزیتی (فاقد رخنمون در منطقه مورد مطالعه) و نهشته‌های لاتریتی در زیر ردیف آواری تریاس بالایی و ژوراسیک میانی به صورت ناپیوسته مشخص می‌شود. سازند الیکا به عنوان میزبان نهشته‌های بوکسیت و لاتریت در این منطقه در محیط دریایی کم‌عمق مربوط به پیشروی آب اقیانوس در تریاس آغازین تشکیل شده است. اولین نشانه‌های برخورد پلیت ایران به توران و بسته شدن اقیانوس پالئوتیس با ناپیوستگی در مرز زمانی تریاس و ژوراسیک در البرز به صورت



شکل ۲: نقشه زمین‌شناسی نهشته سپارده (بهارفیروزی، ۱۳۸۰)

)، خاکستری متمایل به قرمز (Red ore; RO) Yellow ore; (reddish gray ore; RGO) Greenish gray (YO)، خاکستری متمایل به سبز (Dark red ore; DRO) (ore; GGO) قرمزتیره Yellowish gray ore; (grey ore; YGO) می‌باشدند (شکل ۳). کانسنگ‌های لاتریتی دارای چگالی و سختی بالا بوده و حالت توده‌ای دارند. وجود اشکال جریانی و اسفنجی حاصل از

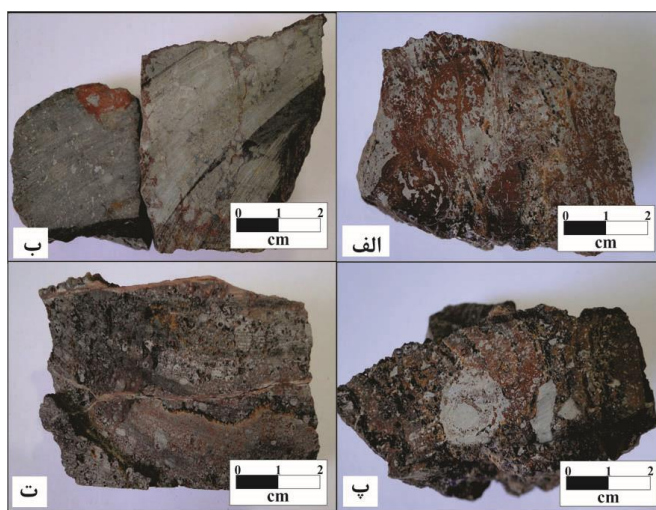
نهشته سپارده با روند ساختاری شمال‌غرب-جنوب‌شرقی دارای ضخامت تقریبی ۱۸ متر و طول ۲۰۰ متر می‌باشد که با شیب ۶۵ درجه به سمت جنوب‌غرب در بین سازند الیکا و شمشک امتداد یافته است. با توجه به مشاهدات صحرایی در عرض نیمرخ انتخابی، واحدهای لاتریتی مختلف با رنگ‌های گوناگون از پایین به بالا شامل ۷ نوع کانسنگ خاکستری (Gray ore; GO)، قرمز

و پ) و بافت اووئیدی در کانسنگ قرمز تیره (شکل ۴) از جمله ویژگی‌های مزوسکوپی مشاهده شده در این نهشته محسوب می‌شوند.

شستشوی آهن در کانسنگ خاکستری (شکل ۱۴)، قطعات کنکرسیون با قطر ۱۰ سانتی‌متر در کانسنگ خاکستری متمایل به قرمز (شکل ۴ ب)

Formation	Thickness (meter)	Stratigraphic column and location of samples
Shemshak formation (Jurassic)		
	17-18	Yellowish gray Ore • Se-14
	11-17	Dark Red Ore • Se-13
	6-11	Greenish gray Ore • Se-12
	5-6	Yellow Ore • Se-11
	2-5	Reddish gray Ore • Se-10 • Se-9 • Se-8 • Se-7 • Se-6 • Se-5
	1-2	Red Ore • Se-4
	0-1	Gray Ore • Se-3 • Se-2 • Se-1
Elika formation (Teriassic)		

شکل ۳: ستون چینه‌شناسی شماتیک نهشته سپارده به همراه نواحی برداشت نمونه که با دوایر سیاه مشخص شده‌اند.



شکل ۴: تصاویر نمونه از کانسنگ‌های نهشته سپارده، (الف) کانسنگ خاکستری (GO) با بخش‌های جریانی، (ب) کانسنگ خاکستری متمایل به قرمز (RGO)، (پ) کنکرسیون‌های موجود در کانسنگ خاکستری متمایل به قرمز (DRO) و (ت) کانسنگ قرمز تیره (RGO).

برش‌مانند را ایجاد کرده است (Valeton, 1972). با توجه به توزیع متناوب کانسنگ‌های رنگین (رنگ‌های خاکستری، قرمز و زرد) در این نهشته، می‌توان گفت نوسانات آب‌های زیرزمینی نقش مهمی را در تشکیل آنها ایفاء نموده‌اند. تشکیل کانسنگ‌های خاکستری و خاکستری متمایل به سبز می‌توانسته مربوط به سطح بالای آب‌های زیرزمینی و محیط‌های مردابی و کولاپی باشد (Bárdossy, 1982). وجود بافت‌های پلیتومورفیک، اووئیدی-پیزوئیدی، کلوفورمی، جریانی، اسفنجی تبدیل شده به اشکال برشی و نودولی نشانگر محیط برگازای تشکیل کانسنگ‌های این نهشته است (Bárdossy, 1982). علی‌رغم وجود شواهدی مبنی بر برگازا بودن، وجود بافت پلیتی و قطعات کلاستیکی شاموزیتی گردشده نشانه‌ای از نابرگازا بودن نهشته سپارده است (شکل ۵ د). نوارهای قرمزنگ هماتیتی تشکیل شده در اطراف این قطعات دلیلی بر تغییرات شرایط اکسایش دارد.

کانی‌شناسی و جنبه‌های ژنتیکی کانی‌سازی بر پایه تجزیه پراش پرتو X (XRD) کانی‌های توسعه یافته در طی فرآیندهای لاتریتی‌شدن در نهشته سپارده در ۵ گروه قرار می‌گیرند که شامل هیدروکسیدها و اکسیدهای آلوینیوم (دیاسپور و بوهمیت)، هیدروکسیدها و اکسیدهای آهن (گوتیت، لپیدوکروسویت و هماتیت)، اکسیدهای تیتانیوم (آناتاز و روتیل)، سیلیکات‌ها (شاموزیت، کائولینیت، کلینوکلر، موسکوویت و دیوپسید) و کربنات‌ها (سیدریت و آنکریت) می‌باشند (جدول ۱ و شکل ۶). همچنین مطالعات تكمیلی SEM حکایت از حضور سولفیدهای آهن (پیریت) یوهدرال و انهدرا (شکل ۵ ذ و ر) و سولفید نیکل-کبالت بی‌شکل نیز در نمونه‌های مورد مطالعه دارد. سیدریت به طور عمده به صورت

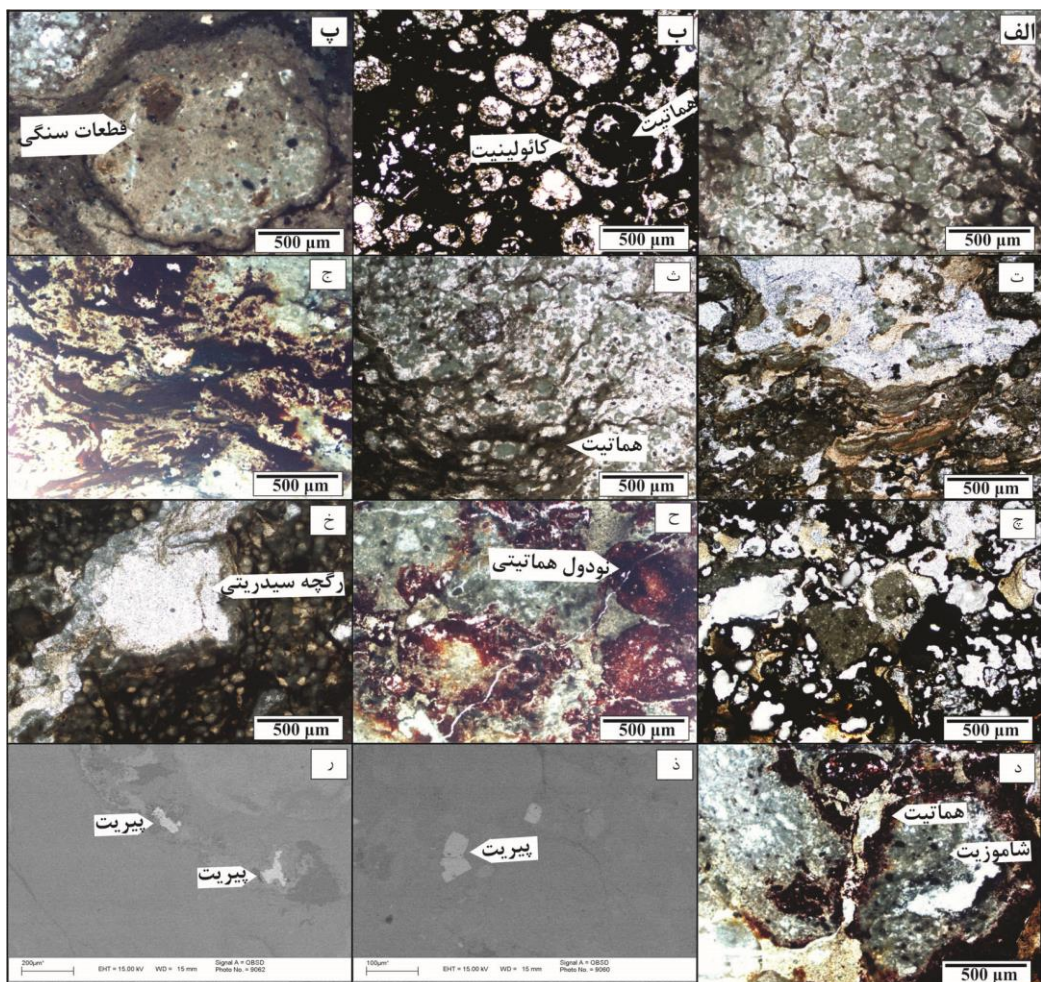
نتایج

محیط تشکیل براساس شواهد بافتی مطالعات میکروسکوپی بر روی کانسنگ‌های نیمرخ لاتریتی سپارده نشان از حضور بافت‌های پلیتومورفیک (شکل ۵الف)، اووئیدی-پیزوئیدی (شکل ۵ب)، پلیتی (شکل ۵پ)، کلوفورمی (شکل ۵ت)، جریانی (شکل ۵ث و ج)، اسفنجی تبدیل شده به اشکال برشی (شکل ۵ج)، نودولی (شکل ۵ح) و قطعات کلاستیکی (شکل ۵ د) در کانسنگ‌های متعدد دارد. همچنین شکستگی‌ها و رگچه‌های متعددی در زمینه برخی از کانسنگ‌ها مشاهده شدند که نتیجه تأثیر نیروهای زمین‌ساختی و فعالیت‌های دیززاد بر روی این نهشته می‌باشد (شکل ۵ح و خ). تشکیل بافت‌های اووئیدی و پیزوئیدی در طی مرحله دیاژنتیک صورت می‌گیرد؛ اگرچه این بافت توسعه چندانی در نهشته سپارده نشان نمی‌دهد که می‌تواند به دلیل همگن‌بودن کلوئید اولیه، نبود هسته‌های مناسب اولیه و ضعیف بودن انرژی حوضه رسوب‌گذاری صورت گرفته باشد (Bárdossy, 1982). همچنین حضور بافت‌های پلیتومورفیک و توده‌ای و کلوفورم دلالت بر لاتریتی‌شدن غیرمستقیم و فرآیندهای زهکشی ضعیف در تکوین این نهشته دارد. به عبارت دیگر تبدیل سنگ مادر به یک حد واسط کانی‌های رسی و نهایتاً به بوکسیت سبب طولانی‌شدن زمان فرآیندهای لاتریتی‌شدن در این نهشته شده است. تشکیل نودول‌های آهن دار در نهشته سپارده می‌تواند در اثر فعالیت آب در محیط‌های پدوژنیک (Tardy and Nahon, 1985) و یا از نوسانات آب و هوایی صورت گرفته باشد (Mongelli, 2002).

همچنین فرآیندهایی مانند جابجایی کلوئیدی، انحلال کانیابی و آب‌گیری و آب‌زدایی سبب تشکیل منظم بافت‌های جریانی، اسفنجی و

مردابی و کولابی تشکیل می‌شوند.

دیاژنتیک و اپیژنتیک و شاموزیت به صورت سینژنتیک در شرایط احیایی و محیط‌های



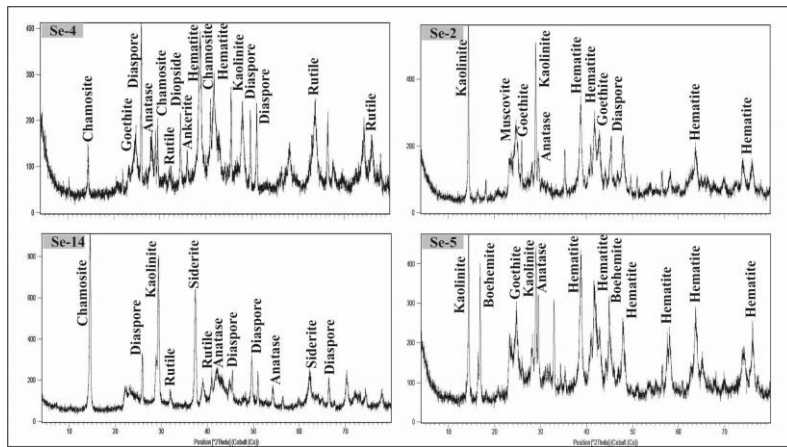
شکل ۵: تصاویر میکروسکوپی از مهمترین بافت‌های شناسایی شده در نهشته سپارده، (الف) بافت پلیتومورفیک در کانسنگ GO و کانی‌های کائولینیت، شاموزیت و سیدریت که در زمینه قرار گرفته‌اند، (ب) بافت اووئیدی - پیزوئیدی در کانسنگ DRO، (پ) قطعات سنگی در کانسنگ GO که بافت پلیتی را به وجود آورده‌اند، (ت) بافت کلوفورمی در کانسنگ YGO، (ث و ج) بافت جریانی در کانسنگ GO، (ج) بافت اسفنجی تبدیل شده به اشکال برشی در کانسنگ RGO، (ح) بافت نодولی در کانسنگ RGO، (ح و خ) رگچه‌ی سیدریتی حاصل از تأثیر نیروهای زمین‌ساختی و فعالیت‌های دیرزاد در کانسنگ GGO، (د) قطعات کلاستیکی شاموزیتی گردشده با نوارهای قرمزرنگ هماتیتی در حاشیه حاصل از تغییرات شرایط اکسایش در کانسنگ RGO (تصاویر میکروسکوپی در نور عبوری پلاریزه تهیه شدند). (ذ و ر) تصویر میکروسکوپی الکترونی روبشی از قطعات پیریت در کانسنگ RGO.

بیوژنیک کانی‌هایی همانند هماتیت و گوتیت به راحتی صورت می‌گیرد و Fe^{2+} به Fe^{3+} تبدیل می‌شود. حاصل فعالیت میکروارگانیسم‌ها علاوه بر Fe^{2+} تولید HCO_3^- نیز می‌باشد که در اثر ترکیب

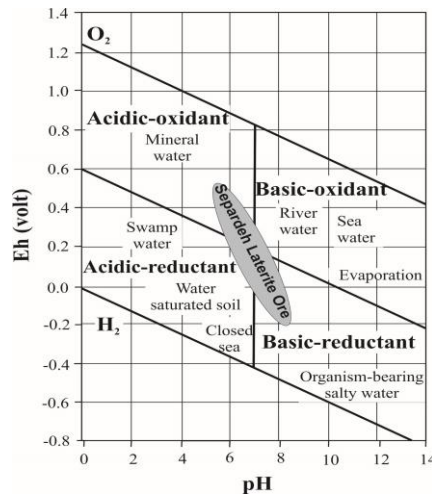
وجود پیریت و سایر سولفیدها دلیلی دیگر بر وجود شرایط احیایی است. سیدریت در اثر تجزیه موادآلی و فعالیت میکروارگانیسم‌ها تشکیل می‌شود. در محیط‌های دریاچه‌ای و باتلاقی اتحلال

هوازدگی می‌باشد. لپیدوکروسیت جزء فازهای کانیایی ناپایدار و ثانویه است که هنگام تبدیل گوتیت به هماتیت در محیط‌های اکسیدان تشکیل می‌شود. تشکیل آناتاز ممکن است به دلیل شکستن کانی‌هایی نظیر ایلمنیت یا اوژیت در شرایط دمایی محیطی سطحی با غلظت پایین Hill et al, (2000). کانی روتیل نیز در اثر فرآیندهای دیاژنتیک و یا نیروهای زمین‌ساختی از کانی آناتاز حاصل می‌شود. کلینوکلر از دگرسانی پیروکسن و آمفیبیول تشکیل می‌شود. بررسی‌های انجام شده نشان می‌دهد (Temur and Kansun, 2006) برای تشکیل گیبسیت به عنوان کانی آلومینای آزاد اولیه تحت شرایط سطحی، نیاز به pH هایی در محدوده بین $4/5$ تا $6/5$ بوده و مقدار سیلیس حل شده در آن برای رسوب‌گذاری آن باید کمتر از $10^{-4/5}$ مول باشد. برای رسوب‌گذاری هماتیت و گوتیت نیاز به pH بالاتر از 7 و Eh بزرگ‌تر از $0/2$ ولت است. شاموزیت و سیدریت به طور کلی در محیط‌های احیایی با pH های بالا ($7-10$) و Eh کمتر از $-0/2$ ولت تشکیل می‌شوند. حضور آناتاز در کانسنگ‌های بازماندی نشان‌دهنده شرایط احیایی و pH های پایین است. مقایسه بازه میدان پایداری کانی‌های اصلی سازنده کانسنگ‌های بازماندی با تغییرات Eh-pH محیط‌های طبیعی (Garrels and Christ, 1965) نشان می‌دهد که آبهای سطحی با ماهیت اسیدی- اکسیدی و آبهای زیرزمینی با ماهیت بازی- احیایی نقش مهمی در تکوین نهشته سپارده ایفاء نموده‌اند (شکل ۷).

این دو، کانی سیدریت تشکیل می‌شود (Costa et al, 2007). شاموزیت نیز با تأمین سیلیس از طریق آبهای زیرزمینی از کانی‌های رسی (کائولینیت) تشکیل می‌شود (Carroll, 1985). در مقابل کانی‌های هماتیت، گوتیت و سیلیکات‌هایی از قبیل کائولینیت در شرایط اکسیدی تشکیل می‌شوند. کانی هماتیت به احتمال زیاد از اکسیداسیون پیریت و کانی‌های فرومیزین و یا از آبزدایی گوتیت به وجود آمده است (Bárdossy, 1982). کانی کائولینیت نیز از دگرسانی فلدسپارها و مسکویت‌ها تشکیل شده است و خود موسکویت محصول دگرسانی فلدسپارها است. حضور کانی شاموزیت به همراه هماتیت در کانسنگ‌ها می‌تواند حاکی از تغییرات شرایط اکسیداسیون و تشکیل هماتیت از شاموزیت باشد به طوری که نوارهای قرمز رنگ هماتیتی در اطراف قطعات شاموزیتی نیز حاکی از همین مسئله است (شکل ۵). کانی دیاسپور به عنوان کانی اصلی آلومینیوم‌دار در نهشته سپارده است. با توجه به حضور بوهمیت در کانسنگ‌ها اینطور می‌توان استنباط نمود که کانی دیاسپور در اثر دیاژنز، تنشهای ساختاری و فرآیندهای دگرگونی خفیف از کانی بوهمیت تشکیل شده است. کانی بوهمیت نیز در اثر آبزدایی و تراکم شبکه کانی گیبسیت در طی شرایط افزایش فشار و دما تشکیل می‌شود. بدین ترتیب می‌توان گفت گیبسیت اولین کانی آلومینای آزاد بوده که از هوازدگی فلدسپارها و یا از سیلیس‌زادایی کائولینیت تشکیل شده است (Voicu et al, 1997). کانی‌هایی مانند موسکویت، دیوپسید غالباً به صورت کلاستیک وجود دارند و حاکی از شرایط زهکشی ضعیف و فرآیندهای کند



شکل ۶: نمودارهای XRD مربوط به کانسنگ‌های لاتریتی نهشته سپارده.



شکل ۷: نمودار Eh-pH محیط‌های اتمسفریک طبیعی (Garrels and Christ, 1965) با توجه به پایداری کانی‌ها که در آن موقعیت نهشته لاتریتی سپارده مشخص شده است (Temur and Kansun, 2006).

جدول ۱: نتایج آنالیز XRD در کانسنگ‌های لاتریتی سپارده

کانی‌های فرعی	کانی‌های اصلی	شماره نمونه
هماتیت، مسکویت، کلینوکلر	سیدریت، آناتاز، شاموزیت، کائولینیت	Se-1
هماتیت، گوتیت، دیاسپور، آناتاز، مسکویت	کائولینیت	Se-2
گوتیت، مسکویت	شاموزیت، کلینوکلر، سیدریت، کائولینیت	Se-3
کائولینیت، شاموزیت، آناتاز، گوتیت، روتیل، آنکریت، دیوپسید	دیاسپور، هماتیت	Se-4
گوتیت	کائولینیت، بوهمیت، آناتاز، هماتیت	Se-5
آناتاز، گوتیت، روتیل، کلینوکلر	سیدریت، کائولینیت، شاموزیت	Se-6
گوتیت، آناتاز	سیدریت، شاموزیت، کائولینیت	Se-7
آناتاز، دیاسپور	کائولینیت	Se-8
هماتیت، آناتاز، گوتیت، لپیدوکروسویت	کائولینیت	Se-9
آناتاز، دیاسپور، هماتیت	شاموزیت	Se-10
هماتیت، آناتاز	گوتیت، کائولینیت	Se-11
آناتاز، هماتیت	سیدریت، شاموزیت	Se-12
هماتیت، آناتاز، روتیل	کائولینیت	Se-13
دیاسپور، آناتاز، روتیل، کائولینیت	شاموزیت، سیدریت	Se-14

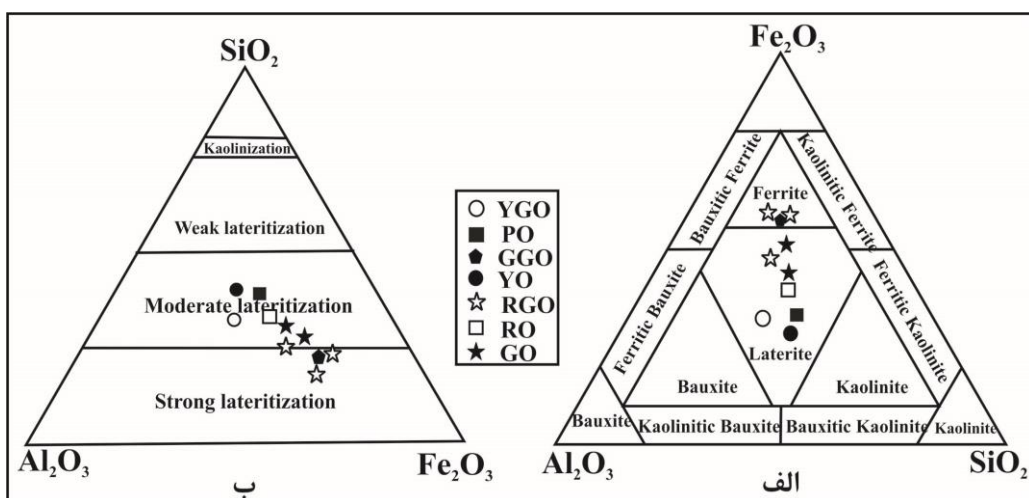
سنگ بستر کربناتی را نشان می‌دهد. محلول‌های اسیدی احتمالاً از اکسیداسیون پیریت در سنگ منشاء و یا تجزیه مواد آلی نشات گرفته‌اند. این محلول‌ها به سمت پایین نیمرخ به وسیله سنگ‌های بستر کربناته خنثی شده‌اند.

شیمی و الگوهای توزیع عناصر نادر خاکی در کانسنگ‌های لاتریتی

مقادیر عناصر نادر خاکی در کانسنگ‌های لاتریتی نیمرخ مورد مطالعه در جدول ۲ ارائه شده است. ppm دامنه تغییرات برای LREE_{La-Gd} ها شدید (۴۵/۳۹-۷۸۵/۴۳) و برای HREE_{Tb-Lu} ها ضعیف (۱۳/۱۱-۷۳/۹۲ ppm) می‌باشد. الگوی توزیع REE‌های بهنجار شده نسبت به ترکیب کندریت (Taylor and McLennan, 1985) کانسنگ‌ها در نیمرخ مورد مطالعه نشان از غنی‌شدنگی LREE_{La-Gd} و HREE_{Tb-Lu} ها نسبت به کندریت دارد با این تفاوت که میزان غنی‌شدنگی LREE_{La-Gd} ها نسبت به HREE_{Tb-Lu} ها بیشتر است (شکل ۹الف).

زمین‌شیمی طبقه‌بندی کانسنگ‌ها و چگونگی فرآیندهای هوازدگی

موقعیت کانسنگ‌های مورد مطالعه در نمودار سه متغیره Al₂O₃-Fe₂O₃-SiO₂ (Aleva, 1994) به طور غالب دو تیپ کانسنگی لاتریت و فریت را برای نهمه سپارده مشخص می‌سازد (شکل ۸الف). همچنین بر پایه نمودار سه متغیره Al₂O₃-Fe₂O₃-SiO₂ (Schellmann, 1986) این نهمه در طی فرآیند لاتریتی‌شدن متوسط تا شدید تشکیل شده است (شکل ۸ب). با توجه به چگونگی توزیع عناصر اصلی بر روی نمودار یاد شده کانسنگ‌های RGO و GGO لاتریتی‌شدن شدید و سایر کانسنگ‌ها لاتریتی‌شدن متوسط را تجربه نموده‌اند. بررسی تغییرات نسبت La/Y در عرض نیمرخ مورد مطالعه نشان می‌دهد مقدار این نسبت از بخش‌های فوقانی از ۱> تا حدود ۴ به سمت بخش‌های تحتانی روند افزایشی داشته است (شکل ۱۰ت). تغییرات این نسبت حاکم بودن شرایط اسیدی در شکل‌گیری بخش‌های فوقانی و تغییر شرایط اسیدی به قلیایی با تزدیک شدن به



شکل ۸: نمودارهای مثلثی $\text{Al}_2\text{O}_3-\text{Fe}_2\text{O}_3-\text{SiO}_2$ (الف) آلو (Aleva, 1994) و (ب) شلمن (Schellmann, 1986) برای کانسنگ‌های لاتریتی نهمه سپارده.

جدول ۲: نتایج تجزیه شیمیایی کانسنگ‌های لاتریتی در نهشته سپاراد

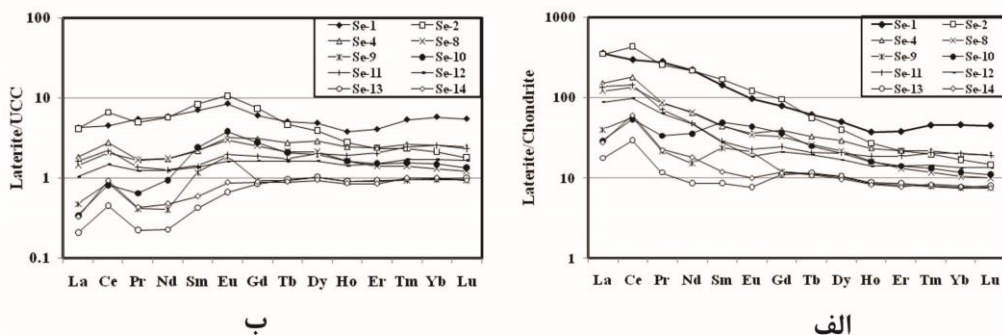
	Se-1	Se-2	Se-4	Se-8	Se-9	Se-10	Se-11	Se-12	Se-13	Se-14
SiO ₂ (wt%)	۲۳/۶۲	۲۱/۷۷	۲۵/۱۴	۱۴/۶۳	۱۹	۱۹/۳۶	۳۰/۴۲	۱۸/۰۹	۳۱/۴	۲۳/۹۲
Al ₂ O ₃	۲۱/۴	۱۹/۴۸	۲۲/۱۱	۱۶/۴۹	۱۶/۷۹	۲۱/۵۲	۲۶/۲۱	۱۶/۲۲	۲۵/۰۳	۲۹/۵۸
Fe ₂ O ₃	۳۴/۹۴	۴۱/۵۸	۳۱/۱۸	۴۶/۲	۴۶/۵۳	۳۶/۶۹	۲۳/۵۴	۴۶/۱۲	۲۸/۲۶	۲۶/۲۷
CaO	۰/۷۷	۰/۷۸	۲/۳	۰/۵۳	۰/۱۵	۰/۳۵	۰/۱۳	۰/۰۴	۰/۱۷	۰/۱۶
MgO	۳/۲	۰/۴۱	۰/۳۶	۲/۶۴	۰/۱۱	۲/۸	۰/۰۸	۲/۷۶	۰/۱۲	۲/۴۷
Na ₂ O	۰/۰۲	۰/۰۱	۰/۰۱	۰/۰۱	۰/۰۲	۰/۰۱	۰/۰۲	۰/۰۲	۰/۰۳	۰/۰۲
K ₂ O	۰/۳۹	۰/۰۷	۰/۱۲	۰/۰۲	۰/۰۷	۰/۰۳	۰/۰۳	۰/۰۲	۰/۴۲	۰/۳۹
TiO ₂	۲/۵۴	۲/۱۶	۲/۶۵	۱/۷۱	۱/۹۹	۳/۵۳	۳/۵۴	۱/۷۵	۳/۳۵	۳/۵۶
MnO	۰/۰۹	۰/۲۶	۰/۰۷	۰/۱۶	۰/۰۹	۰/۰۷	۰/۰۹	۰/۲۴	۰/۲۳	۰/۰۶
P ₂ O ₅	۰/۱۹	۰/۶۴	۰/۱۵	۰/۱۳	۰/۰۸	۱/۹۵	۰/۱۹	۰/۰۸	۰/۰۶	۰/۰۹
LOI	۱۴/۲۳	۱۲/۹۸	۱۳/۷۳	۱۵/۷۷	۱۱/۲۱	۱۲/۰۸	۱۳/۸۹	۱۴/۳۶	۱۱/۷۷	۱۲/۰۲
Sum	۱۰/۱۴۹	۱۰/۰۷۴	۹/۷/۹۶	۹/۸/۳۹	۹/۸/۱۲	۱۰/۰۸۶	۹/۸/۳۵	۱۰/۰۷۶	۱۰/۱/۱۷	۹/۸/۱۱
La(ppm)	۱۳۱/۹	۱۲۸/۳	۵۶/۱	۴۴/۷	۱۴/۷	۱۰/۶	۴۹/۹	۳۲/۲۳	۶/۵	۱۰/۳
Ce	۲۸۵/۳	۴۱۷/۶	۱۷۳/۴	۱۳۰	۵۳/۸	۵۱/۵	۱۳۷	۹۳/۶	۲۸/۴	۵۸/۳
Pr	۳۸/۶۷	۳۵/۳۲	۱۲/۰۵	۱۱/۸۶	۲/۹۶	۴/۶	۹/۶۵	۸/۶۹	۱/۶۱	۳/۰۹
Nd	۱۵۸/۵	۱۵۴/۳	۴۶/۴	۴۷/۲	۱۰/۹	۲۵/۴	۳۴	۳۳/۵	۶/۲	۱۳
Sm	۳۳/۰۹	۳۹/۲۵	۱۰/۲۳	۱۰/۴۹	۵/۴۷	۱۱/۳۱	۶/۶۳	۶/۴	۲/۰۱	۲/۷۹
Eu	۸/۴۶	۱۰/۶۶	۳/۱۶	۲/۹۹	۱/۸۶	۲/۸۲	۱/۹۶	۱/۶	۰/۶۷	۰/۸۸
Gd	۲۴/۱۵	۲۹/۴۲	۱۲/۲۱	۱۰/۰۴	۳/۷	۱۱/۱۴	۷/۴۹	۶/۴۷	۳/۳۸	۳/۵۷
Tb	۳/۵۵	۳/۲۸	۱/۹۲	۱/۵۱	۰/۶۵	۱/۴۵	۱/۲	۱/۱۳	۰/۶۸	۰/۸۳
Dy	۱۹/۰۱	۱۵/۳۴	۱۱/۲۲	۸/۳۲	۳/۹۶	۷/۷۶	۷/۷۹	۶/۳۸	۴/۰۳	۳/۶۹
Ho	۳/۱۶	۲/۳۳	۲/۰۳	۱/۳۷	۰/۷۴	۱/۳۵	۱/۵۸	۱/۱۸	۰/۷۶	۰/۷۱
Er	۹/۳۷	۵/۴۶	۵/۴۸	۳/۲۷	۲/۰۶	۳/۴۹	۴/۶۶	۳/۵	۲/۱۶	۱/۹۵
Tm	۱/۶۱	۰/۷۱	۰/۷۸	۰/۴۲	۰/۲۸	۰/۴۷	۰/۷۳	۰/۵۱	۰/۲۹	۰/۳
Yb	۱۱/۳۷	۴/۱۹	۴/۹۴	۲/۵۹	۱/۸۷	۲/۹۲	۴/۹۹	۳/۳۲	۱/۹۱	۱/۹۷
Lu	۱/۷	۰/۵۶	۰/۷۵	۰/۳۸	۰/۲۹	۰/۴۲	۰/۷۲	۰/۵۱	۰/۳۱	۰/۲۹
Y	۳۵/۱	۴۶/۴	۳۶/۶	۲۲/۴	۱۷	۲۹/۳	۳۱/۱	۲۳/۱	۱۹	۱۷/۳
REE	۷۲۹/۸۴	۸۴۶/۷۷	۳۴۰/۶۷	۲۷۵/۲۴	۱۰۳/۲۴	۱۳۶/۲۴	۲۶۸/۳	۱۹۹/۰۹	۵۸/۹۱	۱۰۱/۴۷
LREE	۶۵۵/۹۲	۷۸۵/۴۳	۳۰/۱۳۴	۲۴۷/۳۴	۸۹/۶۹	۱۰۷/۲۳	۲۳۹/۱۴	۱۷۶/۰۹	۴۵/۳۹	۸۸/۳۶
HREE	۷۳/۹۲	۶۱/۲۹	۳۹/۳۳	۲۷/۹	۱۳/۵۵	۲۹/۰۱	۲۹/۱۶	۲۳	۱۳/۵۲	۱۳/۱۱
La/Y	۳/۷۶	۳/۵۲	۱/۵۳	۱/۹۱	۰/۸۶	۰/۳۶	۱/۶۰	۱/۴۰	۰/۳۴	۰/۶۰
LREE/HREE	۸/۸۷	۱۲/۸۱	۷/۶۶	۸/۸۷	۶/۶۲	۳/۷۰	۸/۲۰	۷/۶۶	۳/۳۶	۶/۷۴
(La/Yb)n	۷/۸۴	۲۰/۶۹	۷/۶۷	۱۱/۶۶	۵/۳۱	۲/۴۴	۶/۷۶	۶/۵۷	۲/۳۰	۳/۵۳
Ce/Ce*	۰/۹۳	۱/۴۴	۱/۵۰	۱/۳۰	۱/۸۲	۱/۷۲	۱/۳۹	۱/۲۹	۲/۰۱	۲/۴۱
Eu/Eu*	۰/۹۱	۰/۹۶	۰/۸۶	۰/۸۹	۱/۲۶	۱/۰۴	۰/۸۵	۰/۷۶	۰/۷۹	۰/۸۵

نشان از تهی شدگی REEها نسبت به HREE در برخی از کانسنگ‌ها دارد (شکل ۹ ب). این امر می‌تواند در ارتباط با عواملی نظیر اختلاف در پایداری کانی‌های حامل این عناصر در سنگ منشأ، تغییر pH محلول‌های هوازده‌کننده و یا درجه تکاملی متوسط نیمرخ باشد (Beyala et al., 2009). روند تغییرات REE بهطور کل و LREEها

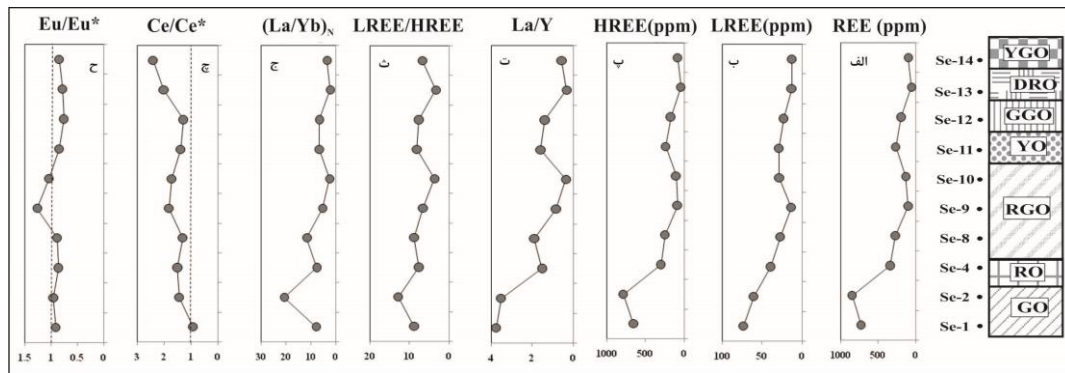
این الگوهای غنی شدگی، معمولاً در نیمرخ‌های مشاهده می‌شوند که تحت تاثیر فرآیندهای هوازدگی شدید قرار گرفته‌اند (Braun et al., 2009). با این حال، الگوی توزیع REE‌های بهنجار شده نسبت به مقدار متوسط سنگ‌های پوسته قاره‌ای بالایی (UCC) (Rudnick and Gao, 2004) برای کانسنگ‌های نیمرخ مورد مطالعه

است. سپس شرایط قلیایی متأثر از وجود سنگ بستر کربناته، باعث ناپایداری کمپلکس‌های حامل و رسوب کانی‌های مربوط به این عناصر شده است. به علاوه، معمولاً نهشته‌های لاتریتی بر جازا، الگوهای منظم REE‌ها را با نزدیکتر شدن به سنگ بستر کربناتی نشان می‌دهند (Mongelli, 1997). بنابراین روند توزیع REE‌ها در نیمرخ سپارده می‌تواند نشانگر منشأ بر جازای این نهشته باشد.

و HREE‌ها به طور اخص در نیمرخ مورد مطالعه نشانگر توزیع صعودی به سمت بخش‌های پایینی نیمرخ است (شکل ۱۰‌الف، ب و پ). بررسی‌های مقادیر تغییرات La/Y ، $(\text{La}/\text{Yb})_{\text{N}}$ و LREE/HREE (شکل ۱۰‌ت، ث و ج) نقش مهم pH را برای روند تغییرات عناصر نادر خاکی مشخص می‌سازد. شرایط اسیدی حاکم بر بخش‌های فوقانی سبب شستشو و هوازدگی این عناصر در طی فرآیندهای لاتریتی شدن گشته



شکل ۹: الگوی توزیع عناصر نادر خاکی به هنجار شده به ترکیب کندریت (الف) (Taylor and McLennan, 1985)، و (ب) به متوسط پوسته قاره‌ای بالایی (Rudnick and Gao, 2004) (UCC) برای کانسنگ‌های لاتریتی سپارده.



شکل ۱۰: الگوی تغییرات مقادیر REE (الف)، $(\text{La}/\text{Yb})_{\text{N}}$ (ث)، LREE/HREE (ت)، La/Y (ب)، HREE (پ)، Ce/Ce^* (ج) و Eu/Eu^* (ج) در کانسنگ‌های لاتریتی سپارده.

عناصر نادر خاکی همبستگی منفی و یا بسیار پایین با Fe, Mn, Al, Si, P دارند که همین امر نشان از نقش نداشتن کانی‌های نامبرده در تثبیت این عناصر دارد (جدول ۳). اما بیشترین مقادیر همبستگی بین Y و REE‌ها (۰/۸۸ تا

الف) کانی‌های میزبان عناصر نادر خاکی کانی‌های آهن‌دار، منگنزدار، کانی‌های فسفاته و همچنین کانی‌های رسی و تیتانیت از مهم‌ترین کانی‌های روینده عناصر نادر خاکی در افق‌های لاتریتی محسوب می‌شوند. در نهشته سپارده

نشدن. همچنین همبستگی‌های متوسطی نیز بین REE و Ca (۰/۵۰ تا ۰/۲۷) وجود دارد که نقش کمنگتر کانی‌های کربناته را نیز در ثبت REE‌ها نشان می‌دهد.

(۰/۶۵) وجود دارد که نقش کانی‌های زینوتایم (Xenotime) و یا چورچیت (Churchite) [YPO₄.2H₂O] را در مرکز این عناصر محتمل می‌کند، هرچند این کانی‌ها به واسطه قلت غلظت توسط آنالیز XRD شناسایی

جدول ۳: ضرایب همبستگی پیرسون بین اکسیدهای اصلی و عناصر نادر خاکی

	SiO ₂	Al ₂ O ₃	Fe ₂ O ₃	TiO ₂	CaO	MgO	Na ₂ O	K ₂ O	MnO	P ₂ O ₅	Y
La	-0/01	-0/19	0/11	-0/33	0/36	0/07	-0/31	0/04	0/20	-0/07	0/77
Ce	-0/04	-0/19	0/14	-0/33	0/38	-0/05	-0/42	-0/07	0/30	0/00	0/76
Pr	-0/07	-0/20	0/16	-0/32	0/31	0/17	-0/29	0/09	0/21	0/00	0/72
Nd	-0/09	-0/21	0/17	-0/31	0/29	0/17	-0/32	0/09	0/23	0/05	0/72
Sm	-0/15	-0/24	0/23	-0/29	0/26	0/13	-0/40	0/01	0/25	0/20	0/71
Eu	-0/16	-0/25	0/23	-0/27	0/27	0/10	-0/45	-0/04	0/22	0/27	0/73
Gd	-0/12	-0/22	0/18	-0/26	0/36	0/12	-0/48	-0/04	0/23	0/24	0/80
Tb	-0/09	-0/21	0/14	-0/27	0/43	0/19	-0/42	0/04	0/14	0/16	0/82
Dy	-0/05	-0/18	0/08	-0/24	0/47	0/20	-0/40	0/05	0/05	0/11	0/85
Ho	0/02	-0/13	0/00	-0/18	0/50	0/18	-0/37	0/04	-0/02	0/09	0/88
Er	0/10	-0/08	-0/07	-0/13	0/45	0/22	-0/23	0/12	-0/10	0/02	0/82
Tm	0/14	-0/01	-0/12	-0/07	0/37	0/27	-0/11	0/22	-0/17	-0/04	0/73
Yb	0/16	0/01	-0/14	-0/05	0/33	0/28	-0/04	0/26	-0/20	-0/07	0/68
Lu	0/17	0/01	-0/15	-0/05	0/33	0/29	-0/01	0/28	-0/21	-0/09	0/65

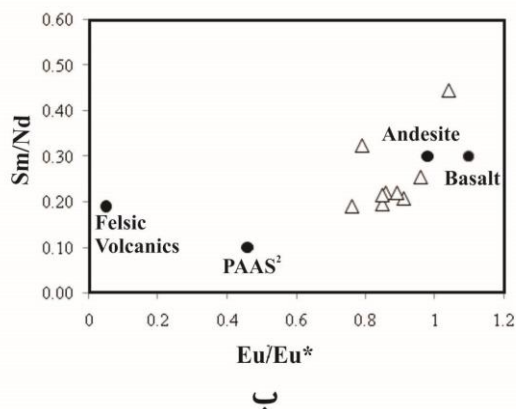
نادر خاکی تحت تأثیر Eh محیط نیز قرار می‌گیرد، از این رو تغییرات Eh ایجاد شده در محیط و تفاوت در تحرک می‌تواند سبب جدایش این عنصر در طی فرآیند هوازدگی از سایر عناصر نادر گردد. در نهشته سپارده ناهنجاری‌های مثبت سریم در بخش‌های فوقانی می‌تواند به دلیل حاکم بودن شرایط اکسیدی در بخش‌های فوقانی نیمرخ روی داده باشد که با حرکت به سمت بخش‌های پایینی، کاهش مقادیر این ناهنجاری روی داده است. کاهش در مقادیر ناهنجاری‌های سریم می‌تواند با خاطر شرایط قلیایی‌تر نیمرخ به دلیل وجود سنگ بستر کربناته و همراهی Ce⁴⁺ با لیگاندهای کربناته و خروج سریم از بخش‌های پایینی نیمرخ رخ داده باشد (Karadağ et al., 2009). ترسیم روند تغییرات Eu/Eu* مقادیر اندکی منفی برای تمامی کانسنگ‌ها است

تفسیر ناهنجاری‌های Eu و Ce مقادیر ناهنجاری‌های Eu/Eu* و Ce/Ce* به ترتیب براساس روابط ۱ و ۲ محاسبه شدند (Taylor and McLennan, 1985) بهنجار شده با ترکیب کندریت است. رابطه (۱)

$$\text{Eu/Eu}^* = \text{Eu}_N / (\sqrt{\text{Sm}_N \times \text{Gd}_N}) \quad (2)$$

Ce/Ce* = 2Ce_N / (La_N + Pr_N) نتایج به دست آمده آشکار می‌نمایند که مقادیر Eu/Eu* و Ce/Ce* در کانسنگ‌های لاتریتی به ترتیب در بازه‌ای از ۰/۹۳ - ۲/۴۱ و ۰/۹۳ - ۱/۲۶ متغیر است. روند تغییرات مقادیر Ce/Ce* بیانگر مقادیر مثبت این ناهنجاری و روند تغییرات متفاوت با سایر عناصر نادر خاکی است (شکل ۱۰). عنصر Ce به دلیل داشتن دو حالت اکسیداسیونی (Ce³⁺ و Ce⁴⁺) علی‌رغم سایر عناصر

نهشته در نظر گرفت. Eu/Eu^* را برای ذخایر بازماندی از خود نشان می‌دهند. از این رو یافته‌های زمین‌شیمیایی فوق از یک سنگ منشاء بازالتی برای لاتریت‌های افق سپارده حمایت می‌کنند. همچنین ترسیم ناهنجاری Eu در مقابل نسبت $\text{TiO}_2/\text{Al}_2\text{O}_3$ و Sm/Nd تأییدکننده سنگ منشاء احتمالی آندزیتی تا بازالتی برای نهشته سپارده است (شکل ۱۱الف و ب). بنابراین می‌توان سنگ‌های بازالتی و آندزیتی تریاس فوقانی را به عنوان منشاء این نهشته در نظر گرفت.

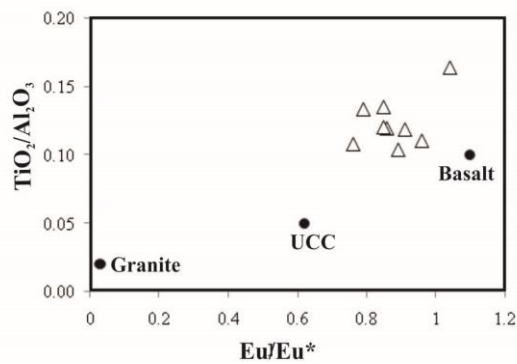


ب

شکل ۱۱: الف) ناهنجاری Eu در مقابل $\text{TiO}_2/\text{Al}_2\text{O}_3$ (ترکیب میانگین مقادیر گرانیت و بازالت از (Mameli et al., 2007) و ب) ناهنجاری Eu در مقابل Sm/Nd برای کانسنگ‌های لاتریتی سپارده. ترکیب میانگین مقادیر بازالت و آندزیت از (Rudnick and Gao, 2004)، ولکانیک فلسیک از (Condie, 1991) و PAAS² از (Taylor, 1964)، (Taylor and McLennan, 1985) اقتباس شده است.

al., 2017). بررسی میزان تمرکز عناصر نادر خاکی در نهشته سپارده نشان می‌دهد که میزان تمرکز این عناصر به طور میانگین $332/80$ ppm است. بیشترین میزان تمرکز این عناصر در بخش پایینی نیمروخ مورد مطالعه در کانسنگ GO (مقادیر $846/72$ و $729/84$ ppm) وجود دارد (جدول ۲). حداقل آستانه استخراج برای عناصر کمیاب خاکی از نهشته‌های بوکسیتی و لاتریتی حدود 2000 ppm است. مقایسه نتایج حاصل از تجزیه شیمیایی حکایت از آن دارد که کانسنگ‌های مورد

(شکل ۱۰ج). تغییرات اندک ناهنجاری Eu در طی فرآیندهای هوازدگی شدید، سبب شده تا این نسبت در تعیین سنگ منشاء نهشته‌های بازماندی استفاده شود. الگوهای توزیع REE‌ها در طی هوازدگی با تفریق اندک بین LREE‌ها و HREE‌ها (شکل ۱۹الف) و تغییرات اندک ناهنجاری منفی Eu، یک سنگ منشاء بازالتی را پیشنهاد می‌کنند (Karadağ et al., 2009). این در حالی است که سنگ‌های فلسیک به عنوان منشاء، الگوهای تفریق یافته شدیدتر LREE‌ها و HREE‌ها و ناهنجاری‌های به شدت منفی



الف

شکل ۱۱: الف) ناهنجاری Eu در مقابل $\text{TiO}_2/\text{Al}_2\text{O}_3$ (ترکیب میانگین مقادیر گرانیت و بازالت از (Mameli et al., 2007) و ب) ناهنجاری Eu در مقابل Sm/Nd برای کانسنگ‌های لاتریتی سپارده. ترکیب میانگین مقادیر بازالت و آندزیت از (Rudnick and Gao, 2004)، ولکانیک فلسیک از (Condie, 1991) و PAAS² از (Taylor, 1964)، (Taylor and McLennan, 1985) اقتباس شده است.

ارزیابی اقتصادی و کاربردی
علی‌رغم ابعاد کوچک و پراکندگی نهشته‌های بوکسیت و لاتریت کارستی در سراسر جهان، اهمیت آنها از نظر غنی‌شدگی از عناصر و فلزات حیاتی رو به افزایش است. علاوه بر وجود تعدادی از نهشته‌های بوکسیت کارستی که از نظر وجود آلومینیوم مورد توجه اقتصادی قرار می‌گیرند، بسیاری از نهشته‌های غیراقتصادی از نوع کارستی وجود دارند که از نظر تأمین عناصر نادر خاکی مورد توجه روزافزون قرار گرفته‌اند (Mongelli et

استحصال بستگی دارد. با مقایسه میزان عناصر نادر خاکی در نهشته سپارده با سایر نهشته‌های بوکسیت و لاتریت کارستی در ایران و جهان می‌توان اینطور استنباط کرد که نهشته سپارده، به طور مشخص کانسنگ GO دارای پتانسیل مناسبی برای ارزیابی‌های دقیق‌تر در این زمینه می‌باشد (جدول ۴).

مطالعه از نظر اقتصادی در حد مناسبی قرار ندارنده، هر چند که نتیجه‌گیری قطعی در این مورد به انجام آنالیزهای شیمیایی بیشتری نیاز دارد. به نظر می‌رسد که پایین بودن مقادیر این عناصر در سنگ‌های منشأ، عامل اقتصادی نبودن این عناصر در نهشته‌های مورد مطالعه است. البته تعیین حدود اقتصادی نهشته‌ها نسبی بوده و به نیازهای جوامع و میزان پیشرفت در فناوری

جدول ۴: مقایسه مقادیر عناصر نادر خاکی در برخی نهشته‌های بوکسیت-لاتریت در ایران و جهان با نهشته سپارده.

نام و مکان رخداد نهشته	LREE	HREE	REE	مراجع
Nurra (Italy)	۴۲۰	۳۰	۴۵۰	Mameli et al, 2007
Karaman (Turkey)	۶۲۸	۸۳	۷۰۹	Hanılıç, 2013
Kanigorgeh (Iran)	۳۶۷	۸۳	۴۵۰	Abedini and Calagari, 2013
Jajarm (Iran)	۶۵۷	۳۹	۶۹۶	Esmaeily et al, 2010
Mandan (Iran)	۵۹۸	۷۰	۶۶۸	Zarasvandi et al, 2012
Gujarat (India)	۱۷۵	۲۰	۱۹۵	Meshram and Randive, 2011
Las Mercedes (Dominican Re.)	۹۳۹	۱۵۶	۱۵۴۸	Torró et al, 2017
Lindai (China)	۲۲۹	۴۰/۷	۲۹۷	Linget al, 2017
Separdeh	۲۷۴	۳۲	۳۰۶	این مطالعه

اکسیدهای اصلی و عناصر نادر خاکی حضور کانی‌های زینوتایم و چورچیت و نقش کمتر کانی‌های کربناته را در تثبیت این عناصر آشکار می‌سازد. رخداد بی‌هنجری مثبت Ce در نیمرخ مورد مطالعه در ارتباط با شرایط اکسیدی در بخش‌های فوقانی تشکیل شده است. همچنین بررسی‌های ناهنجاری Eu و نسبت‌های Sm/Nd و TiO₂/Al₂O₃ از سنگ منشاء احتمالی با ترکیب آندزیتی و بازالتی تریاس فوکانی برای این نهشته حمایت می‌کنند. مطالعات بافتی، کانی‌شناسی و زمین‌شیمیایی نشان‌دهنده آن است که نهشته سپارده در دو مرحله تشکیل شده است. در مرحله اول، لاتریتی‌شدن بر جازای سنگ‌های بازالتی تریاس فوکانی از قبیل دگرسانی، شکسته‌شدن کانی‌های سیلیکاته و تشکیل کانی‌های رسی، کانی‌های آهن‌دار و تیتانیوم‌دار

نتیجه‌گیری

نهشته لاتریتی سپارده به عنوان یک افق بازماندی در مرز بین سنگ آهک تریاس (سازند الیکا) و ماسه‌سنگ ژوراسیک (سازند شمشک) توسعه یافته است. کانسنگ‌های این نهشته به لحاظ رنگ و ویژگی‌های فیزیکی به هفت بخش مجزا تقسیم شده‌اند. بررسی‌های ساختی و بافتی دلالت بر دو خاستگاه بر جازا و نایر جازا در این نهشته دارند. یافته‌های کانی‌شناسی حکایت از نقش مهم آبهای زیرزمینی با ماهیت بازی-احیایی و آبهای سطحی با ماهیت اسیدی-اکسیدان در تشکیل این نهشته دارند. الگوی توزیع REE‌ها بیانگر تاثیر فرآیندهای هوازدگی شدید، تغییر pH محلول‌های هوازده کننده، اختلاف در پایداری کانی‌های حامل این عناصر و منشاء بر جازا برای این نهشته می‌باشد. بررسی ضرایب همبستگی بین

کانی‌هایی همانند پیریت، سیدریت و تسهیل فرآیند شیستشوی عناصر نادر خاکی از بخش‌های فوقانی نیمرخ و ته نشست این عناصر در بخش‌های زیرین نهشته سپارده گشته است.

نهشته‌های بوکسیتی- لاتریتی تاش و آستانه در البرز شرقی: رهیافت‌های دیرینه محیطی، نشریه رخساره‌های رسوی، سال ۸، شماره ۱، ص ۷۱-۸۴

-عابدیان، ن.، ۱۳۸۷. شناساسی بوکسیت- لاتریت و مواد نسوز استان گیلان، سازمان زمین‌شناسی و اکتشافات معدنی کشور، ۱۱۹ ص.

-کنگرانی فراهانی، ف.، کلاگری، ع.ا. و عابدینی، علی، ۱۳۹۳. کانی‌شناسی و ژئوشیمی نهشته لاتریتی کمبلو، باختر دامغان، استان سمنان، علوم زمین، سال ۲۳، شماره ۹۲، ص ۳۴۹-۳۵۸.

-Abedini, A., Calagari, A.A. and Mikaeili, K., 2014. Geochemical characteristics of laterites: the Alibaltalu deposit, Iran: Bulletin of the Mineral Research and Exploration, v. 148, p. 69-84.

-Abedini, A. and Calagari, A.A., 2013. Geochemical characteristics of Kanigorgeh ferruginous bauxite horizon, West-Azarbaidjan province, NW Iran, Periodico di Mineralogia, v. 82, p. 1-23.

-Aiglsperger, T., Proenza, J.A., Lewis, J.F., Labrador, M., Svojtka, M., Rojas-Puro'n, A., Longo, F. and uris'ova, J.D., 2016. Critical metals (REE, Sc, PGE) in Ni laterites from Cuba and the Dominican Republic: Ore Geology Reviews, v. 73, p. 127-147.

-Alavi, M., 1996. Tectonostratigraphic synthesis and structural style of the Alborz Mountain system in Northern Iran: Journal of Geodynamics, v. 21, p. 1-33.

صورت گرفته است. در مرحله دوم انتقال و نهشته مواد لاتریتی تشکیل شده به حفرات کارستی واقع در محیط‌های کولابی و مردابی همراه با پوشش گیاهی انجام شده است. این شرایط باعث تشکیل

منابع

- بهارفیروزی، خ.، ۱۳۸۰. نقشه زمین‌شناسی ۱:۱۰۰۰۰ جواهرده، سازمان زمین‌شناسی و اکتشافات معدنی کشور.
- شماعیان، غ.ح. و مریدی، ز.، ۱۳۹۵. کانی‌شناسی، ژئوشیمی و خاستگاه نهشته بوکسیتی شیرین‌آباد، جنوب‌شرق گرگان، فصلنامه زمین‌شناسی ایران، سال ۱۰، شماره ۳۹، ص ۱۱۵-۱۰۳.
- شماعیان، غ.ح. منفرد، ز. و عمرانی، ۵.، ۱۳۹۴. مشخصات چینه‌شناسی، سنگنگاری و رخساره‌ای

-Aleva, G.J.J., 1994. Laterites: Concepts, Geology, Morphology and Chemistry, Wageningen, Netherlands, 169 p.

-Bárdossy, G., 1982. Karst Bauxites, Elsevier Scientific, Amsterdam, 441 p.

-Berberian, M., 1983. The southern Caspian: A compressional depression floored by a trapped, modified oceanic crust: Canadian Journal of Earth Sciences, v. 20, p. 163-183.

-Beyala, V.K.K., Onana, V.L., Priso, E.N.E., Parisot, J. and Ekodeck, G.E., 2009. Behaviour of REE and mass balance calculations in a lateritic profile over chlorite schists in South Cameroon: Chemie der Erde-Geochemistry, v. 69, p. 61-73.

-Braun, J.J., Viers, J., Dupre, M., Ndam, J. and Muller, J.J., 1998. Solid liquid REE fractionation in the lateritic system of Goyoum, East Cameroon: The implication for the present dynamics of the soil covers of the humid tropical

- regions: *Geochimica et Cosmochimica Acta*, v. 62, p. 273-299.
- Calagari, A.A., Kangarani Farahani, F. and Abedini, A., 2015. Geochemical Characteristics of a Laterite: The Jurassic Zan Deposit, Iran: *Acta Geodyn. Geomater.*, v. 12, p. 67-77.
- Carroll, D., 1985. Role of clay minerals in the transportation of iron: *Geochimica et Cosmochimica Acta*, v. 14, p. 1-27.
- Condie, K., 1991. Another look at REEs in shales: *Geochimica et Cosmochimica Acta*, v. 55, p. 2527-2531.
- Costa, M.L., Lemos, V.P., Lima da Costa, M., Lemos, R.L. and Faria, M.S.G., 2007. Vivianite and siderite in lateritic iron crust: an example of bioreduction: *Quím. Nova*, v. 53, p. 101-107.
- Esmaeily, D., Rahimpour-Bonab, H., Esna-Ashari, A. and Kananian, A., 2010. Petrography and geochemistry of the Jajarm Karst bauxite ore deposit, NE Iran: implications for source rock material and ore genesis. *Turkish Journal of Earth Sciences*, v. 19, p. 267-284.
- Garrels, R.M. and Christ, C.I., 1965. *Solution Minerals and Equilibria*. Harper and Row, New York, 450 p.
- Giorgis, I., Bonetto, S., Giustetto, R., Lawane, A., Pantet, A., Rossetti, P., Thomassin, J. and Vinai, R., 2014. The lateritic profile of Balkouin, Burkina Faso: geochemistry, mineralogy and genesis: *Journal of African Earth Sciences*, v. 90, p. 31-48.
- Hanilçi, N., 2013. Geological and geochemical evolution of the Bolkardağı bauxite deposits, Karaman, Turkey: Transformation from shale to bauxite, *Journal of Geochemical Exploration*, v. 133, p. 118-137.
- Hill, I.G., Worden, R.H.G. and Meighan, I.G., 2000. Geochemical evolution of paleolaterite: the interbasaltic Formation, Northern Ireland: *Chemical Geology*, v. 166, p. 65-84.
- Karadağ, M., Kupeli, S., Aryk, F., Ayhan, A., Zedef, V. and Doyen, A., 2009. Rare earth element (REE) geochemistry and genetic implications of the Mortaş bauxite deposit (Seydişehir/Konya-Southern Turkey): *Chemie Erde-Geochem*, v. 69, p. 143-159.
- Ling, K.Y., Zhu, X.Q., Tang, H.S. and Li, S.J., 2017. Importance of hydrogeological conditions during formation of the karstic bauxite deposits, Central Guizhou Province, Southwest China: A case study at Lindai deposit. *Ore Geology Reviews*, v. 82, p. 198-216.
- Mameli, P., Mongelli, G., Oggiano, G. and Dinelli, E., 2007. Geological, geochemical and mineralogical features of some bauxite deposits from Nurra (western Sardinia, Italy): insights on conditions of formation and parental affinity: *International Journal of Earth Sciences*, v. 96, p. 887-902.
- Meshram, R.R. and Randive, K.R., 2011. Geochemical study of laterites of the Jamnagar district, Gujarat, India: Implications on parent rock, mineralogy and tectonics: *Journal of Asian Earth Sciences*, v. 42, p. 1271-1287.
- Mongelli, G., 1997. Ce-anomalies in the textural components of upper Cretaceous karst bauxites from the Apulian carbonate platform (southern Italy): *Chemical Geology*, v. 140, p. 69-79.
- Mongelli, G., 2002. Growth of hematite and boehmite in concretions from ancient karst bauxite: clue for past climate: *Catena*, v. 50, p. 43-51.
- Mongelli, G., Boni, M., Oggiano, G., Mameli, P., Sinisi, R., Buccione, R. and Mondillo, N., 2017. Critical metals

- distribution in Tethyan karst bauxite: The cretaceous italian ores. *Ore Geology Reviews*, v. 86, p. 526-536.
- Retallack, G., 2010. Lateritization and Bauxitization Events: *Economic Geology*, v. 105, p. 655-667.
- Rudnick, R.L. and Gao, S., 2004. Composition of the Continental Crust, In: Holland H, Turekian K, editors. *Treatise on Geochemistry*: 2nd ed. Amsterdam, the Netherlands: Elsevier, 64 p.
- Salamab Ellahi, S., Taghipour, B., Zarasvandi, A., Bird, M.I. and Somarin, A.K., 2016. Mineralogy, Geochemistry and Stable Isotope Studies of the Dopolan Bauxite Deposit, Zagros Mountain, Iran: *Minerals*, v. 6, p. 1-21, DOI: 10.3390/min6010011.
- Schellmann, W., 1986. A new definition of laterite: *Memoirs of the Geological Survey of India*, v. 1284, p. 1-7.
- Tardy, Y. and Nahon, D.B., 1985. Geochemistry of laterites, Stability of Al-goethite, Al-hematite and Fe³⁺-kaolinite in bauxites and ferricretes: an approach to the mechanism of concretion formation: *American Journal of Science*, v. 285, p. 865-903.
- Taylor, S.R. and McLennan, S.M., 1985. The Continental Crust: Its Composition and Evolution: Blackwell Oxford, 312 p.
- Taylor, S.R., 1964. Abundance of chemical elements in the continental crust: a new table: *Geochimica et Cosmochimica Acta*, v. 196, p. 1273-1285.
- Temur, S. and Kansun, G., 2006. Geology and petrography of the Mastadagi diasporic bauxites, Alanya, Antalya, Turkey: *Journal of Asian Earth Sciences*, v. 27, p. 512-522.
- Torró, L., Proenza, J.A., Aiglsperger, T., Bover-Arnal, T., Villanova-de-Benavent, C., Rodríguez-García, D., Ramírez, A., Rodríguez, J., Mosquea, L.A. and Salas, R., 2017. Geological, geochemical and mineralogical characteristics of REE-bearing Las Mercedes bauxite deposit, Dominican RepublicOre Geology Reviews, v. 89, p. 114-131.
- Valeton, I., 1972. *Bauxites: Development in Soil Sciences*: Elsevier, Amsterdam, 226 p.
- Voicu, G., Bardoux, M. and Voicu, D., 1997. Mineralogical norm calculations applied to tropical weathering profiles. *Mineralogical Magazine*, v. 61, p. 185-196.
- Zarasvandi, A., Carranza, E.J.M. and Ellahi, S.S., 2012. Geological, geochemical, and mineralogical characteristics of the Mandan and Dehnow bauxite deposits, Zagros Fold Belt, Iran, *Ore Geology Reviews*, v. 48, p. 125-233